

Электронная структура слоистых систем FeSe на подложке SrTiO3

И.А. Некрасов, Н.С. Павлов, М.В. Садовский, А.А. Слободчиков

Екатеринбург, 2017

Новые "железные" ВТСП



Published on Web 02/23/2008

Iron-Based Layered Superconductor La[O_{1-x}F_x]FeAs (x = 0.05-0.12) with $T_c = 26$ K

Yoichi Kamihara,*,† Takumi Watanabe,‡ Masahiro Hirano,†,§ and Hideo Hosono†,‡,§

ERATO-SORST, JST, Frontier Research Center, Tokyo Institute of Technology, Mail Box S2-13, Materials and Structures Laboratory, Tokyo Institute of Technology, Mail Box R3-1, and Frontier Research Center, Tokyo Institute of Technology, Mail Box S2-13, 4259 Nagatsuta, Midori-ku, Yokohama 226-8503, Japan

Received January 9, 2008; E-mail: hosono@msl.titech.ac.jp

- 1. Doped RE111 (RE=La,Ce,Pr,Nd,Sm,Tb,Dy) with T_c about 25–55 K, with most typical representatives such as LaO_{1-x}F_xFeAs [1,5–12] and LaO_{1-x}F_xFeP [13] with much lower $T_c = 6.6$ K.
- 2. Doped A122 (A=Ba,Sr), such as $Ba_{1-x}K_xFe_2As_2$ [14-17] and T_c about 38 K.
- 3. $\text{Li}_{1-x}\text{FeAs}$ with $T_c = 18\,\text{K}$ [18, 19].

- 4. (Sr, Ca, Eu)FFeAs [20-22] with $T_c = 36$ K [23].
- 5. $Sr_4(Sc,V)_2O_6Fe_2(P,As)_2$ with $T_c = 17 \text{ K}$ [24].
- 6. FeSe, $FeSe_{1-x}Te_x$ with T_c up to 14 K [25].

Типичные кристаллические структуры

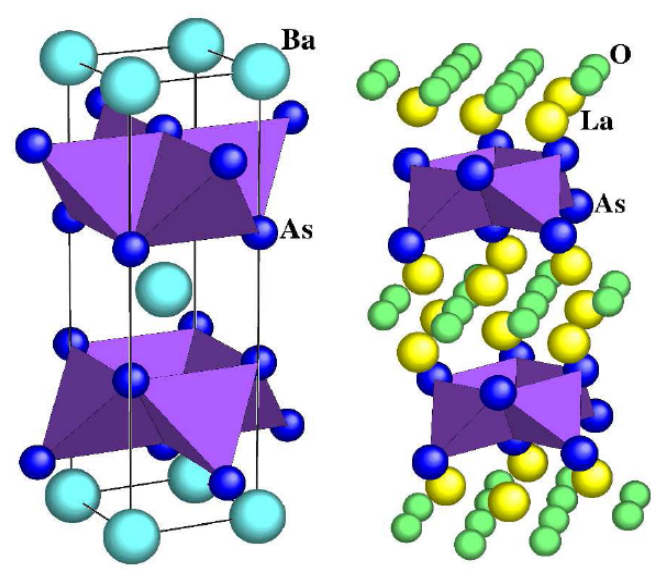
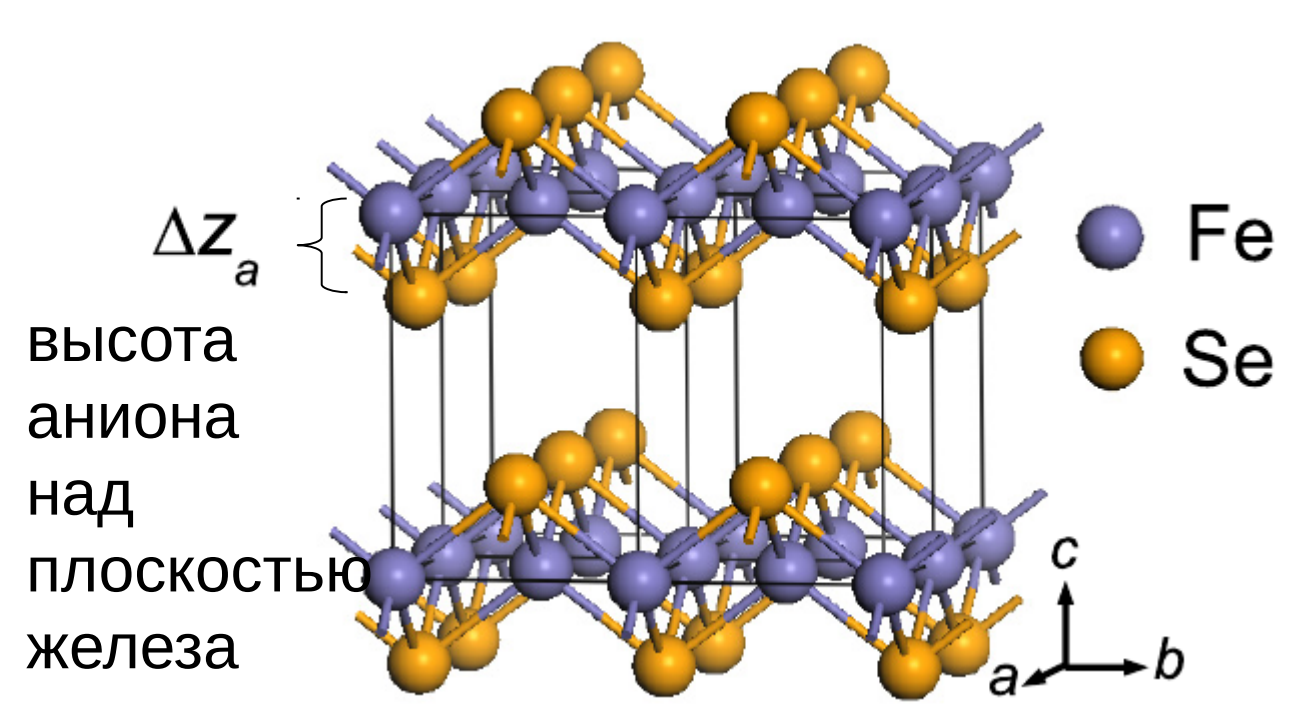
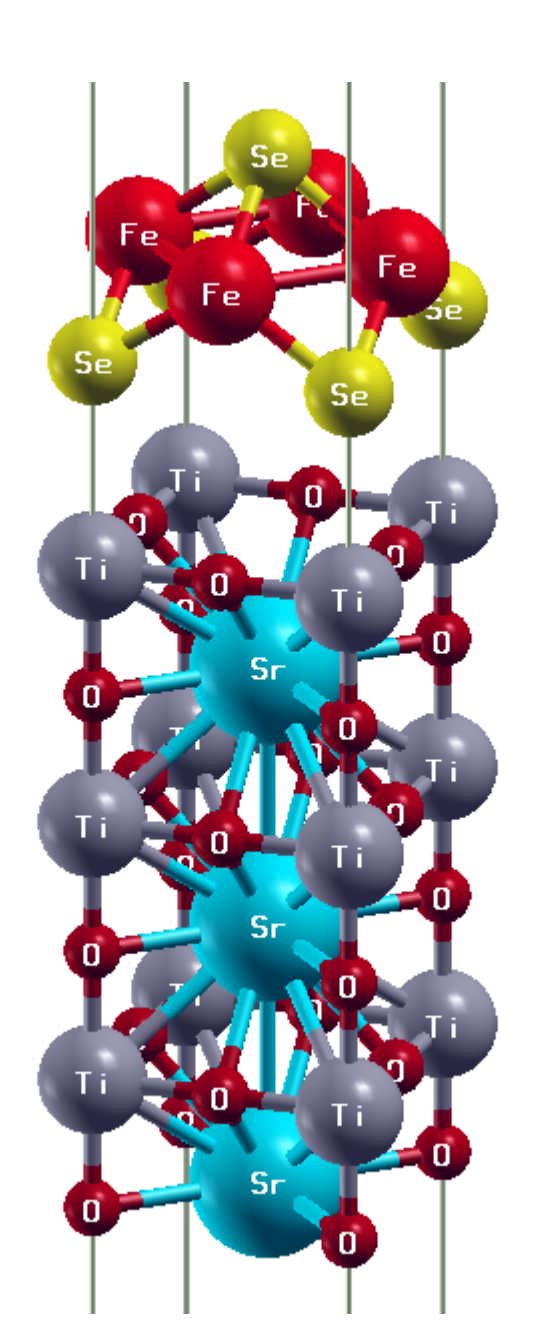


Fig. 1. Crystal structure of BaFe₂As₂ (left) and LaOFeAs (right). FeAs tetrahedra (violet) form two-dimensional layers sandwiched by Ba ion (cyan) or LaO layers (yellow and green).

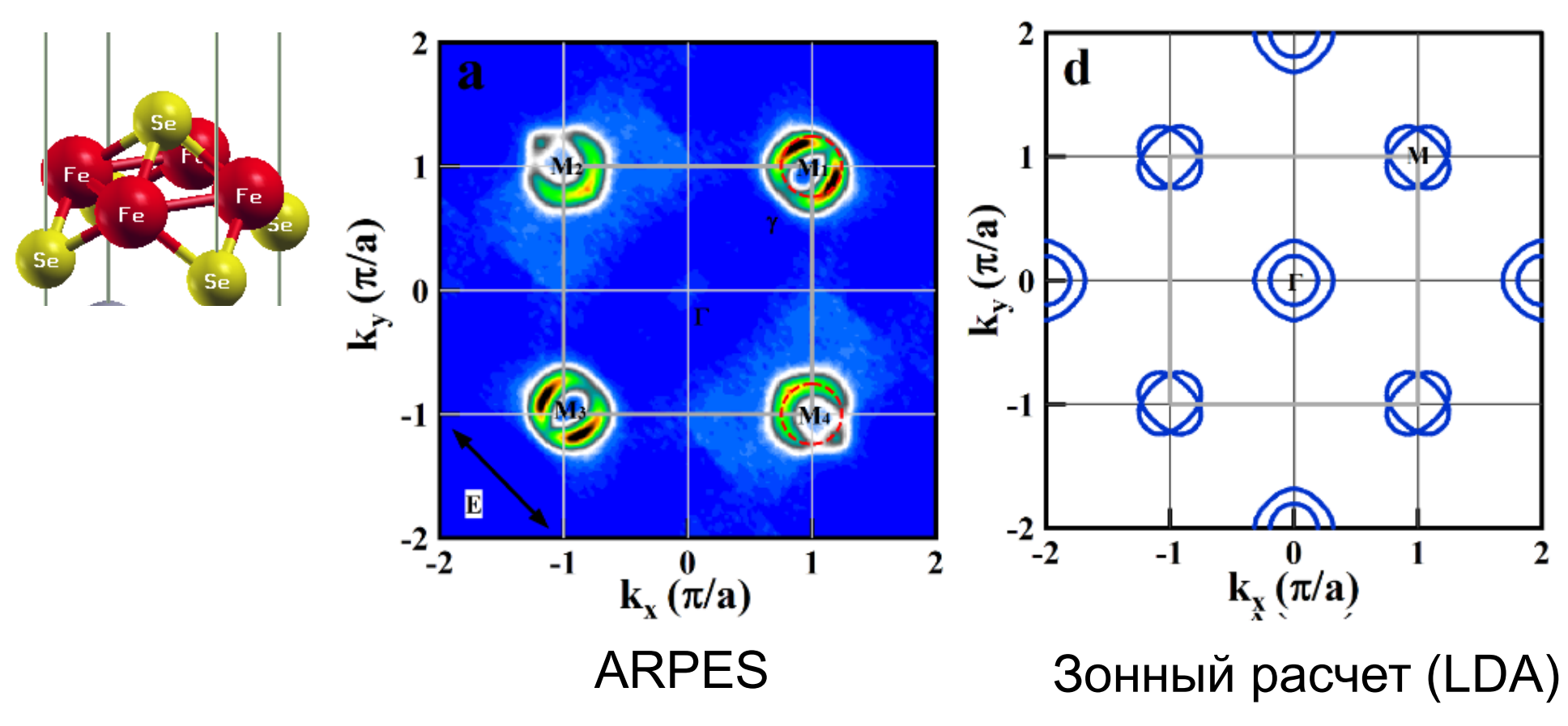




Поверхности Ферми монослоя FeSe

 $T_c(FeSe) \sim 8 \text{ K} \text{ (Hsu et al., 2008)}$

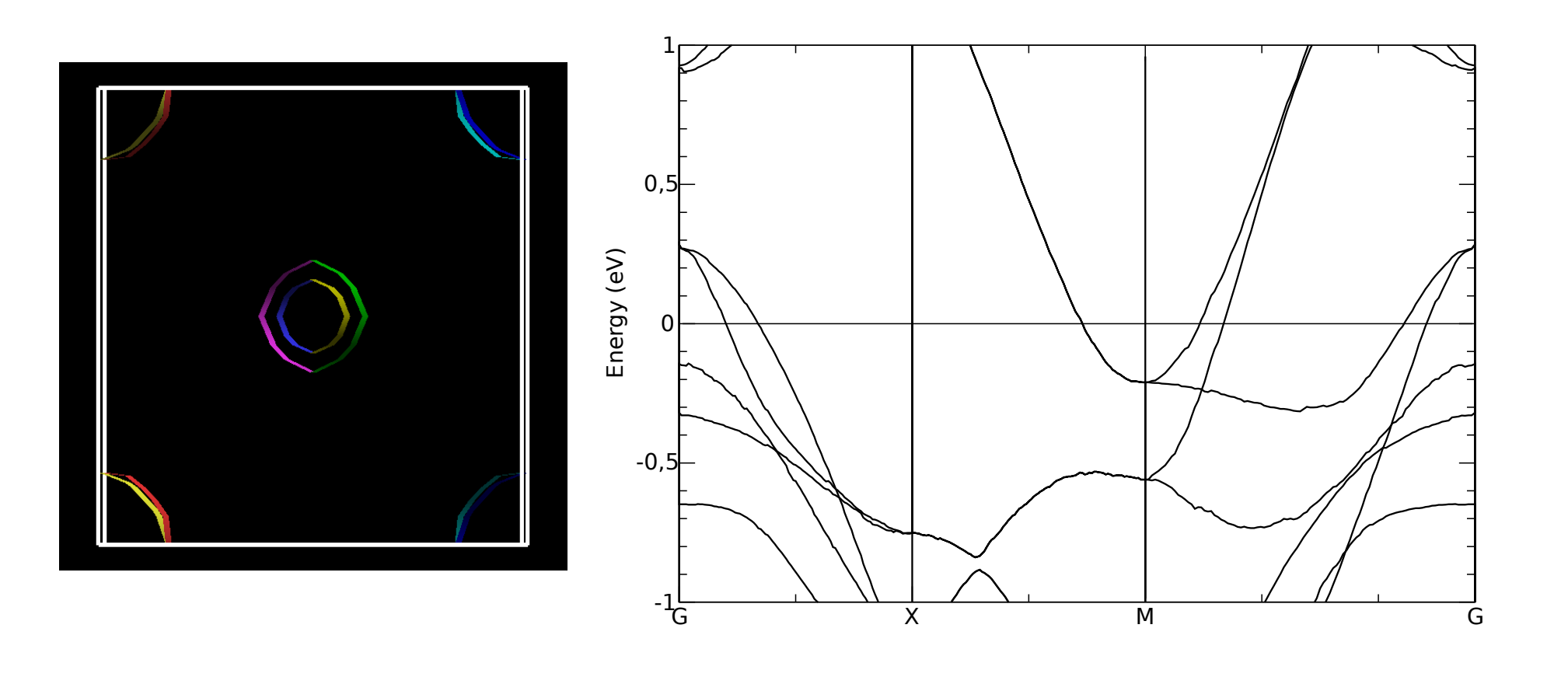
 $T_c(FeSe/STO) \sim 70 \text{ K} \text{ (Qing-Yan et al., 2012)}$



Defa Liu et al., Nature Communications, 3, 931 (2012).

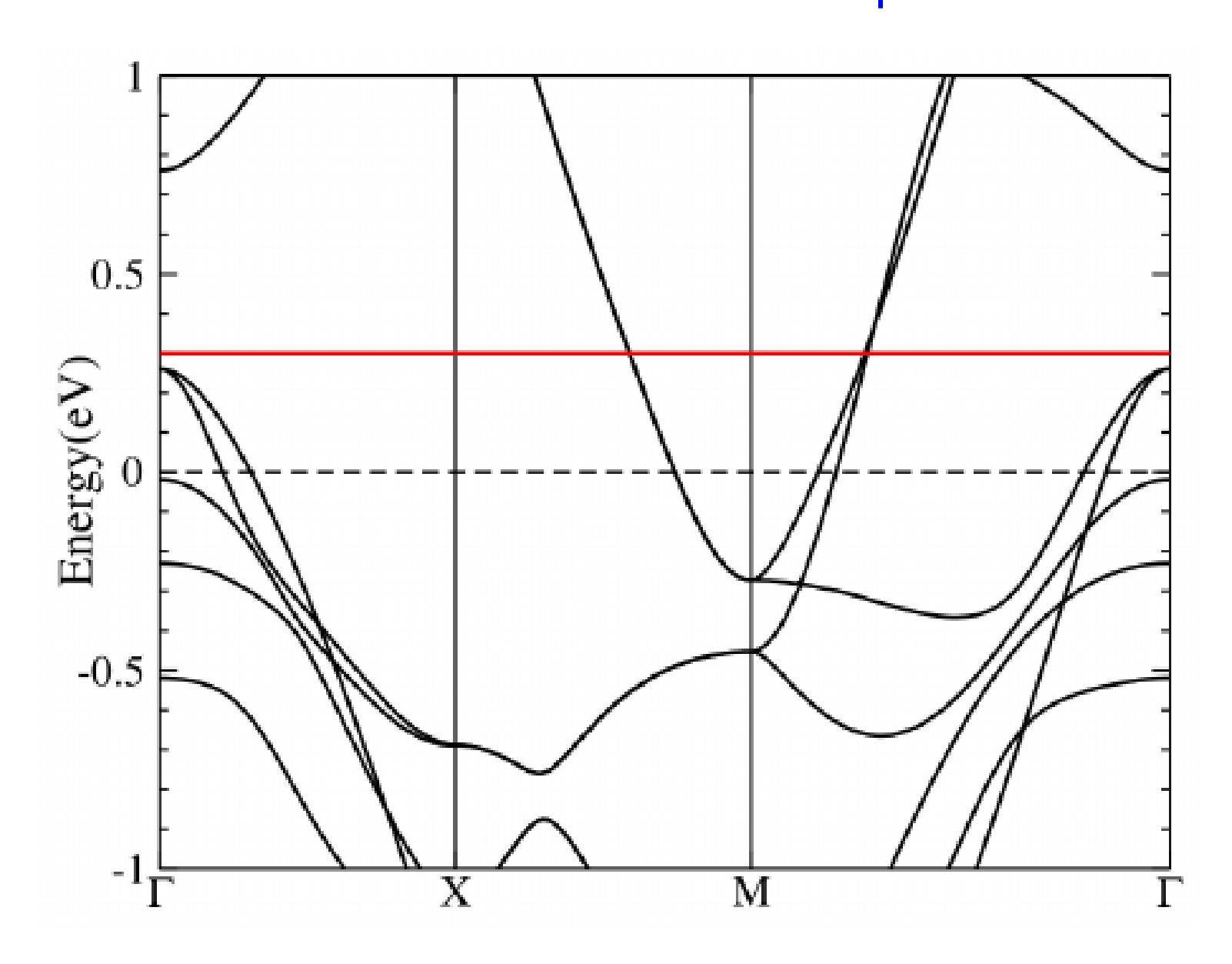
Аналогичная ПФ у (LiOH)FeSe, K(FeAs),

Типичная поверхность Ферми и зонная структура (LDA) для "железных" ВТСП

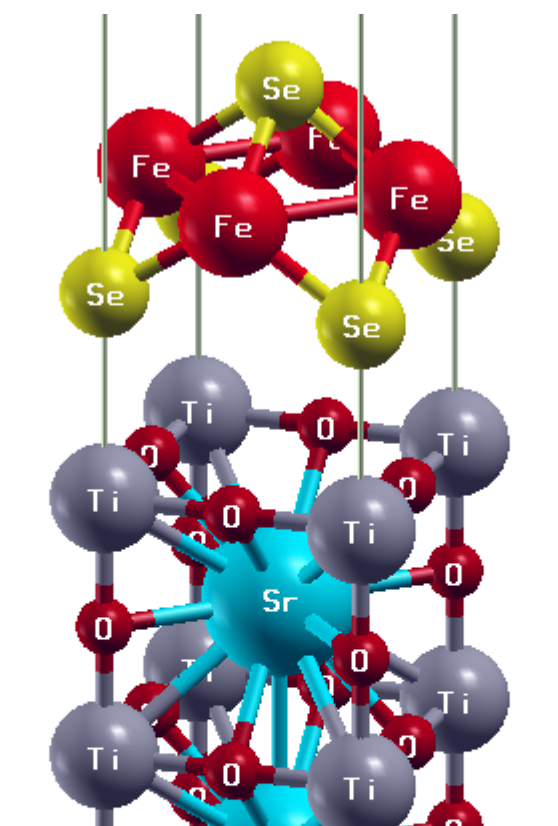


FeSe, объемный образец

LDA зоны монослоя FeSe вблизи уровня Ферми ($E_f = 0$)



BTCI mIFeSe/STO



Кристаллическая структура

- 1. Монослой FeSe
- 2. Fe образует квадратную решетку
- 3. Fe имеет тетраэдрическое окружение анионов FeSe₄
- 4. Слой FeSe примыкает к слою TiO₂

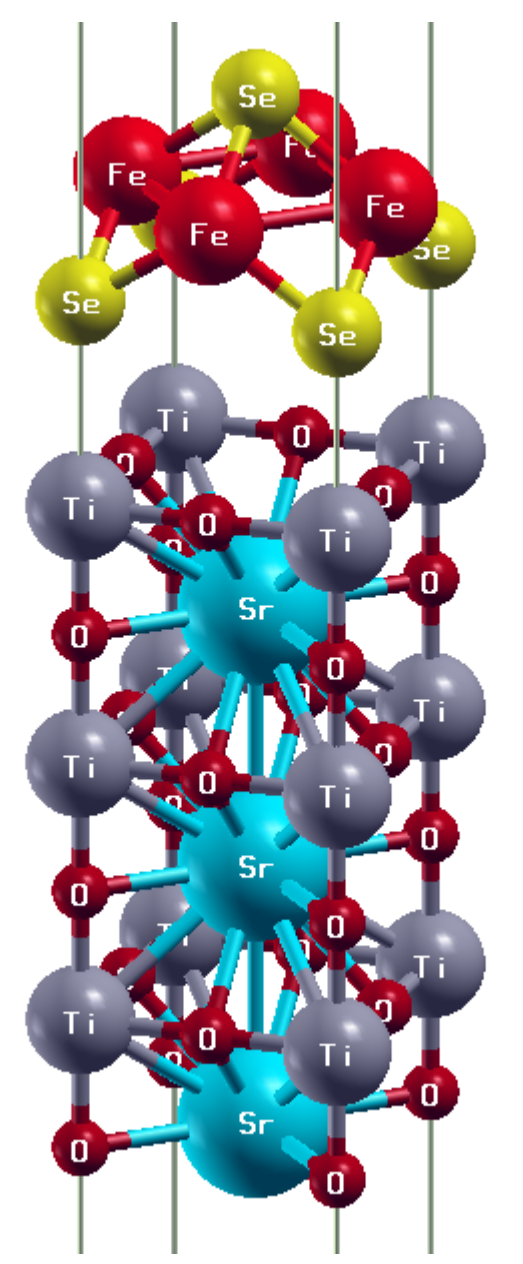
Характерные температуры СП перехода

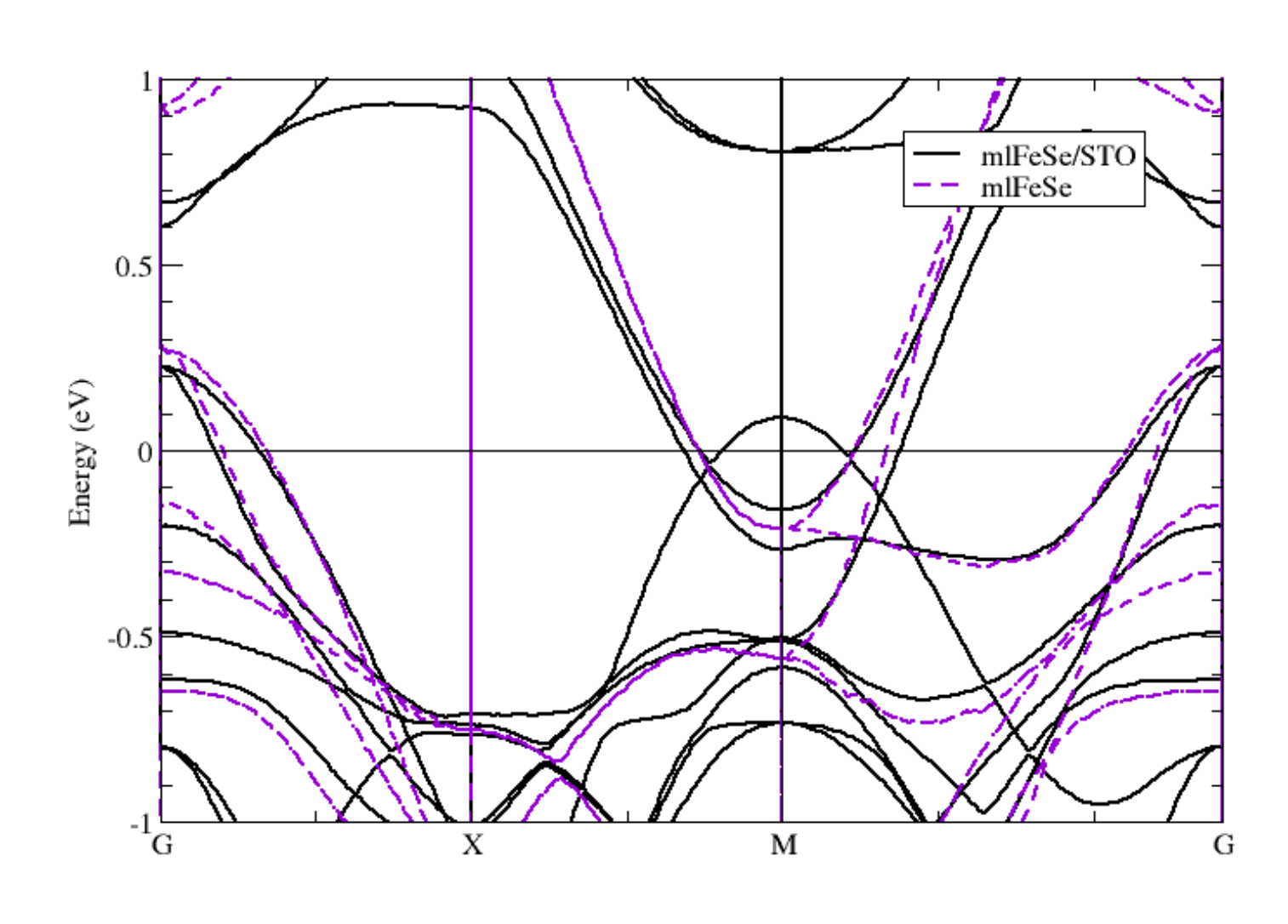
FeSe bulk: $T_c \sim 8K$ (Hsu et al., 2008)

 AFe_2Se_2 (A=K,Rb,Cs): $T_c \sim 30K$ (Jiangang Guo et al., 2010)

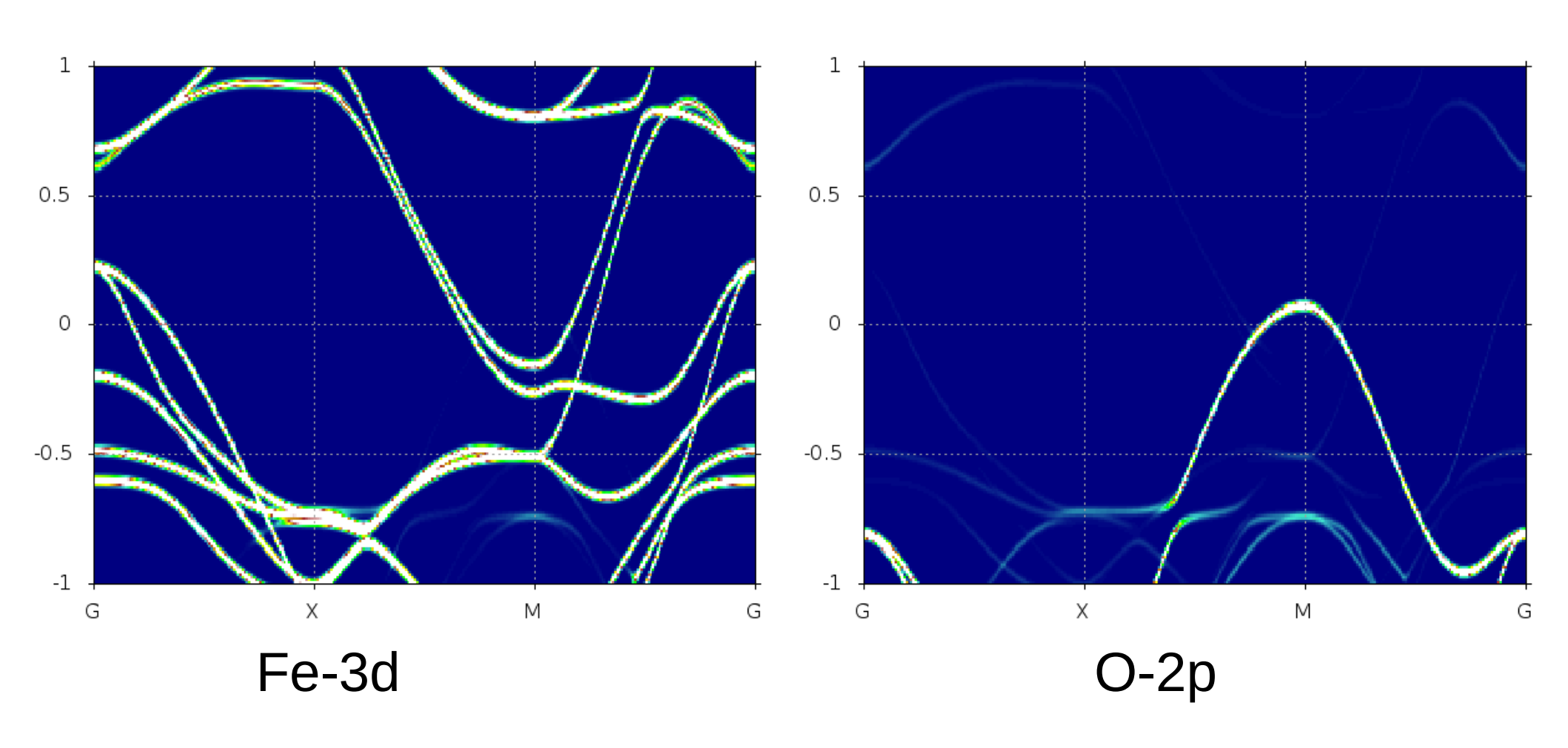
FeSe/SrTiO₃: $T_c \sim 70 \text{ K}$ (Qing-Yan et al., 2012)

LDA зоны монослоя FeSe и mlFeSe/STO вблизи уровня Ферми

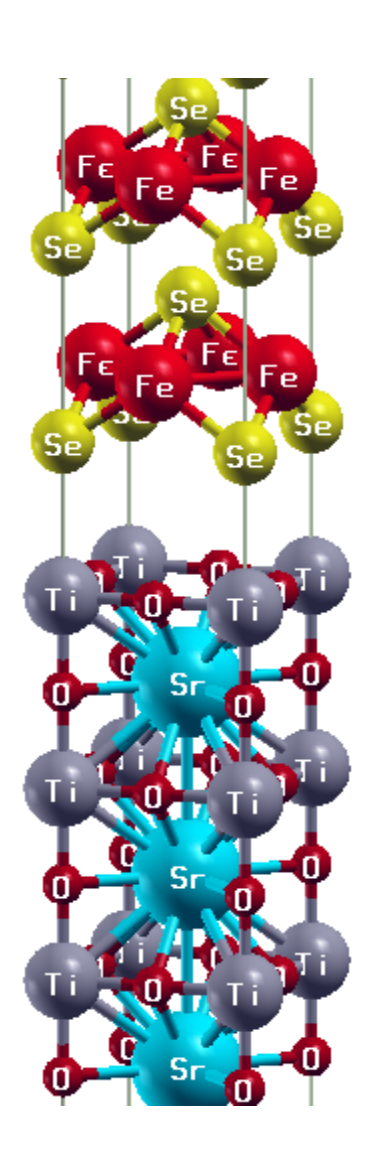


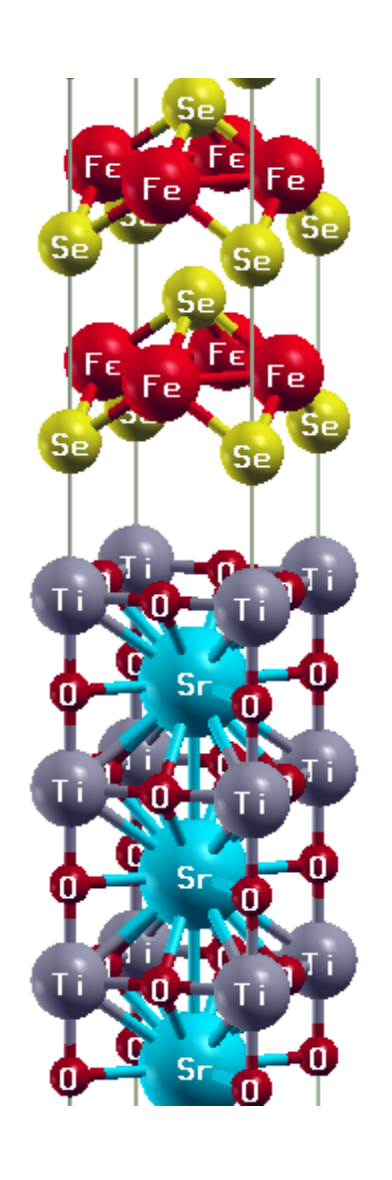


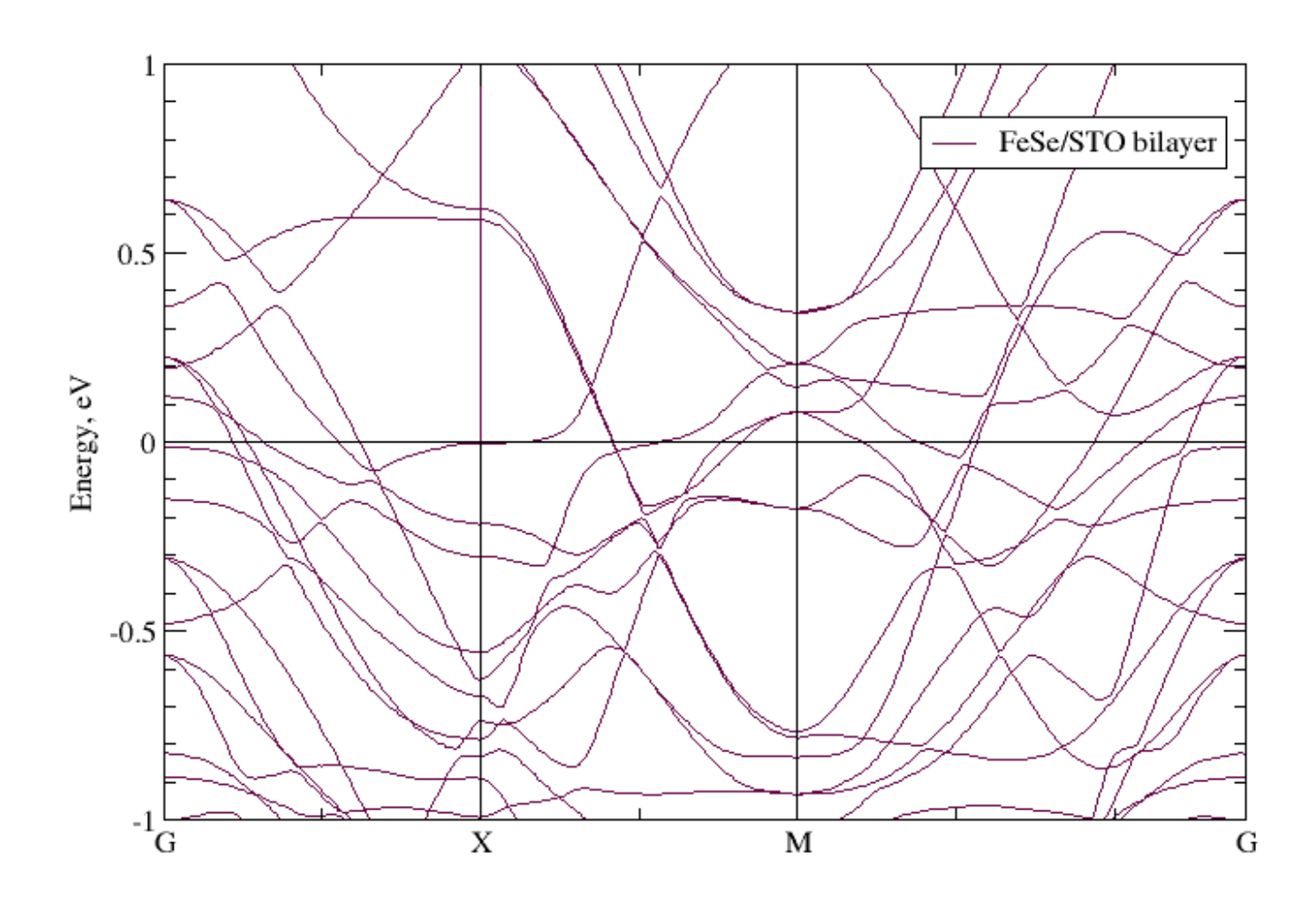
Орбитальные характеры (LDA) системы mlFeSe/STO

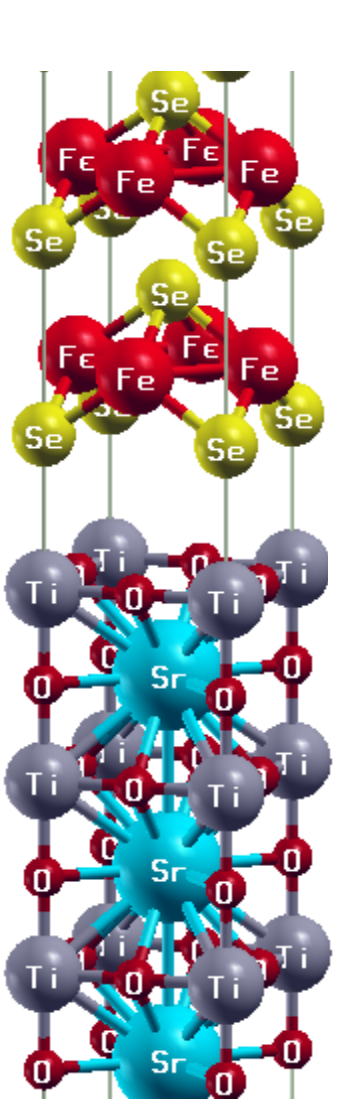


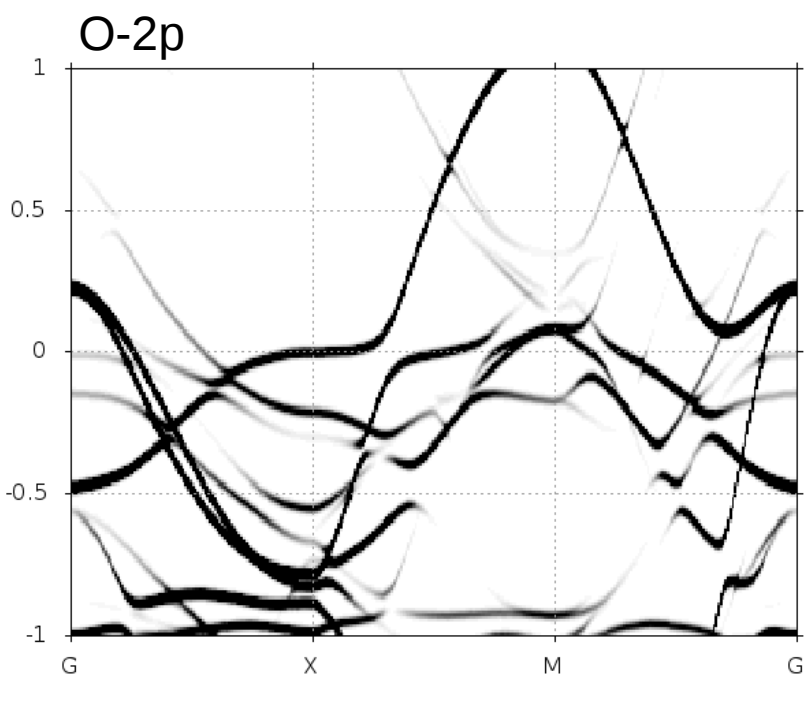
Двуслойная система blFeSe/STO

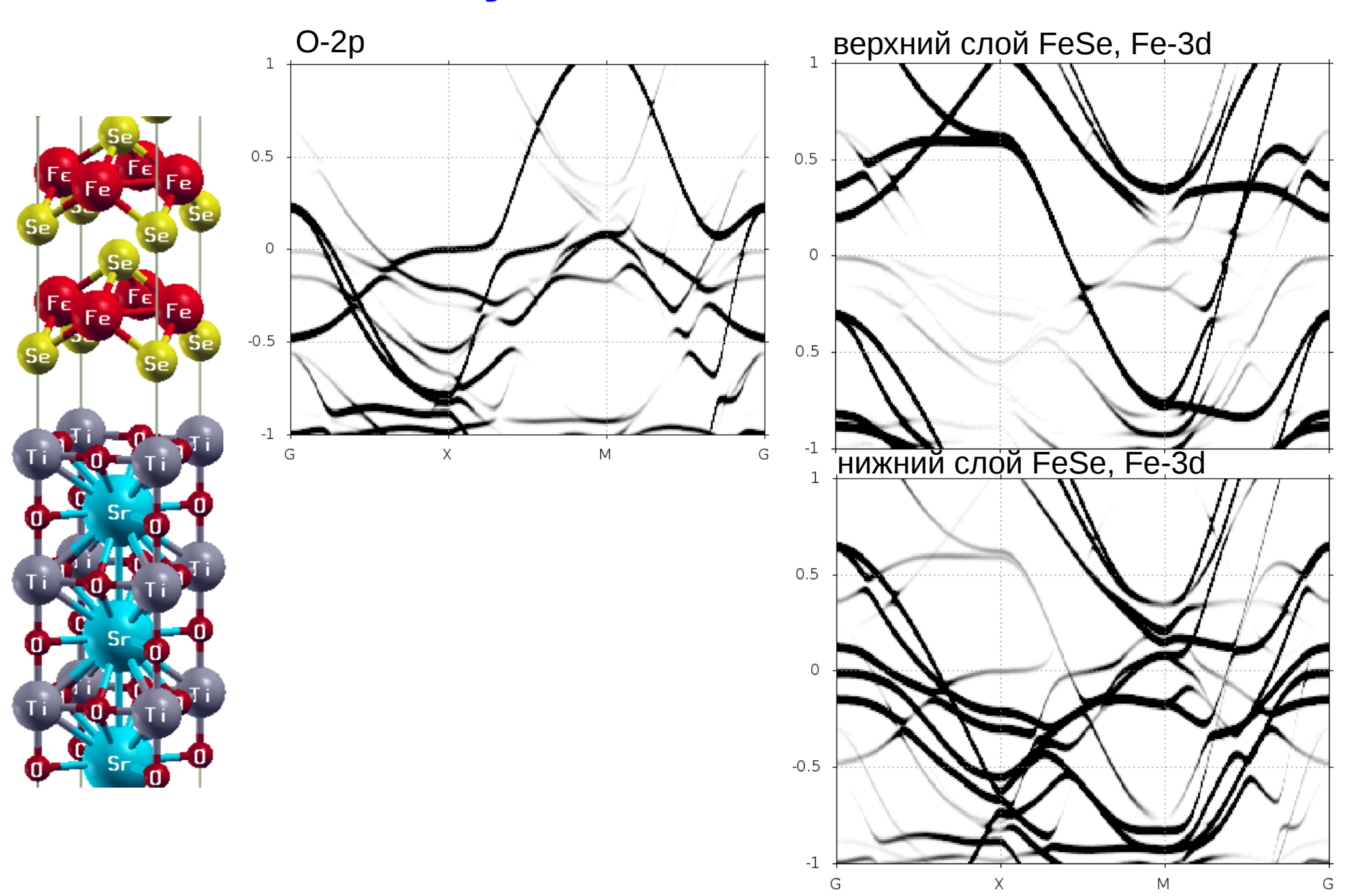


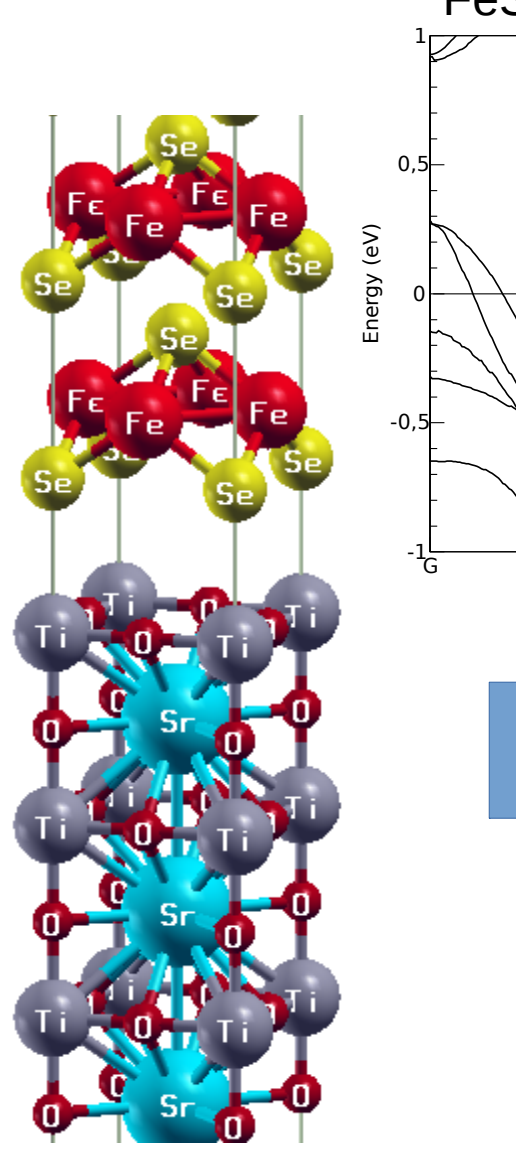


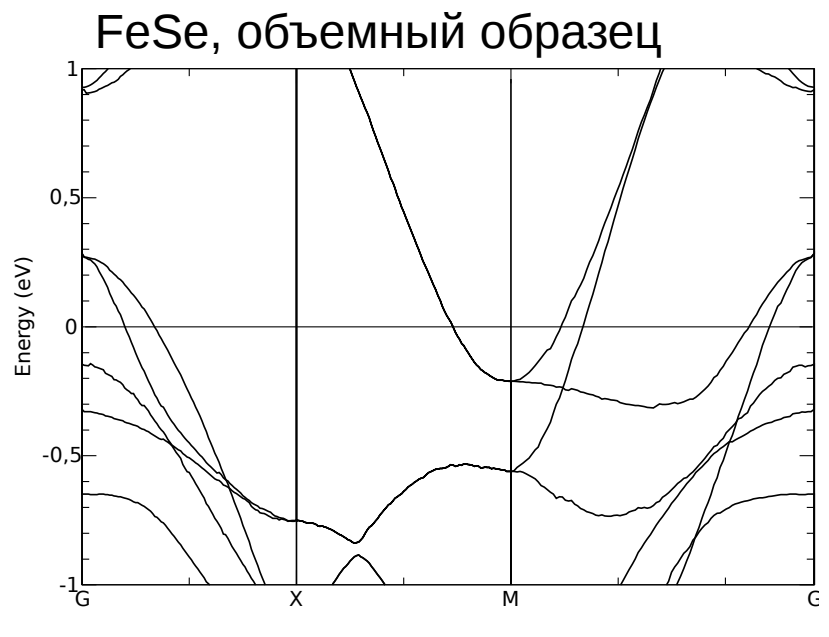




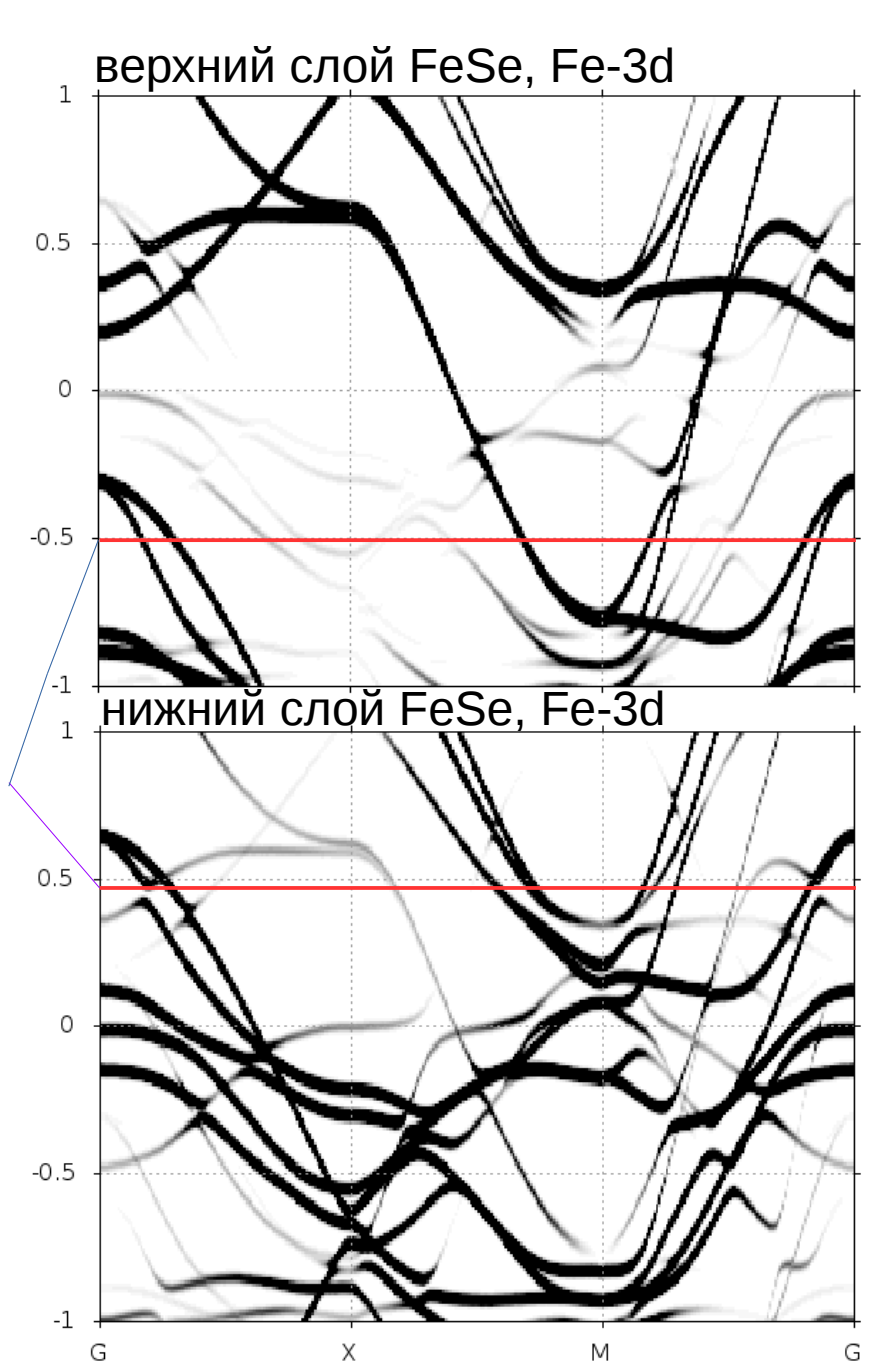




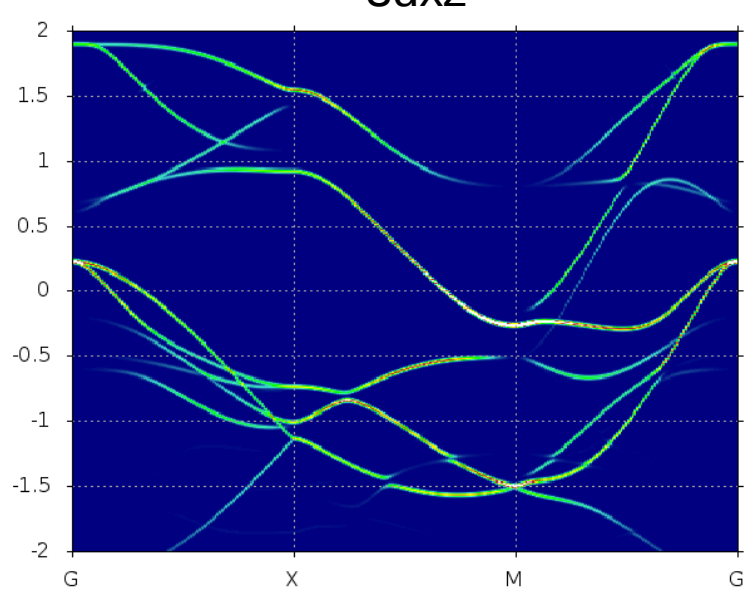




Уровень допирования для получения типичной ПФ

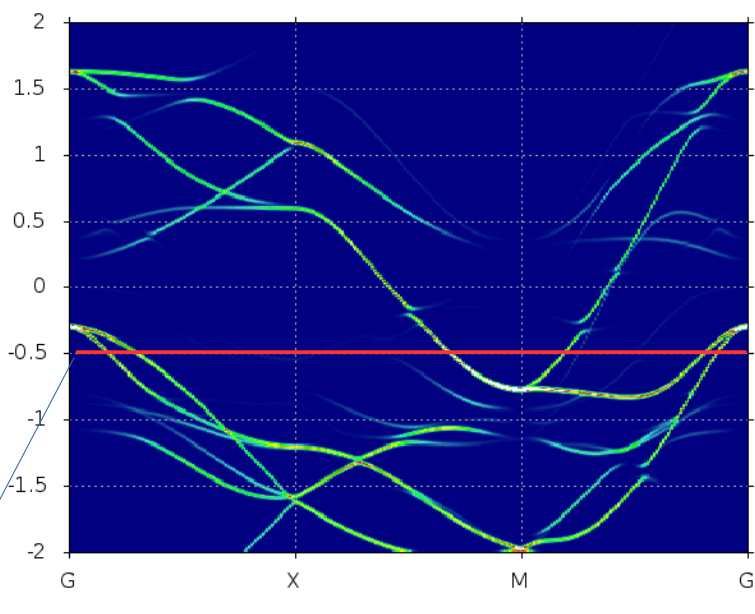


слой FeSe в mlFeSe/STO, Fe-3dxz

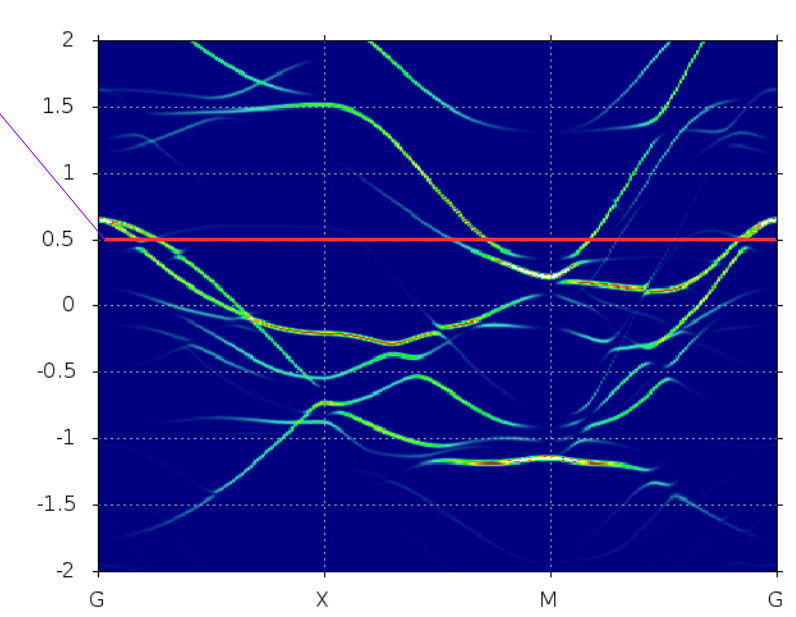


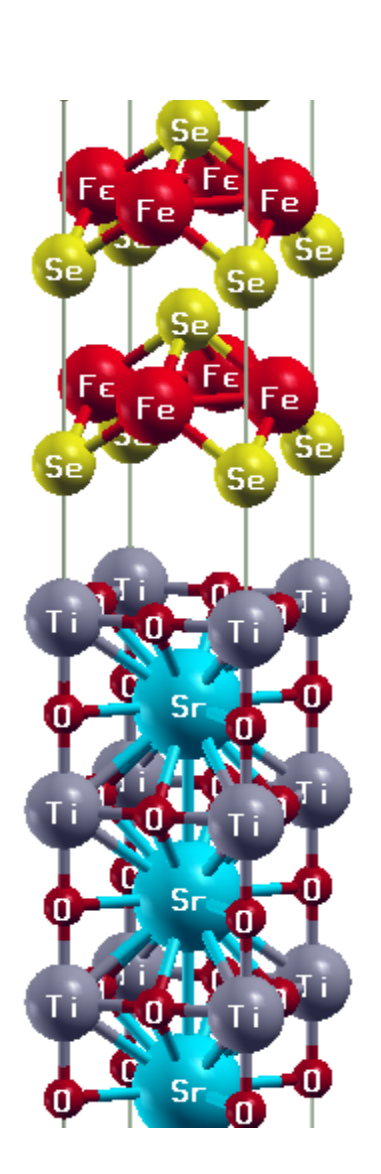
Уровень допирования для получения типичной ПФ

верхний слой FeSe, Fe-3dxz

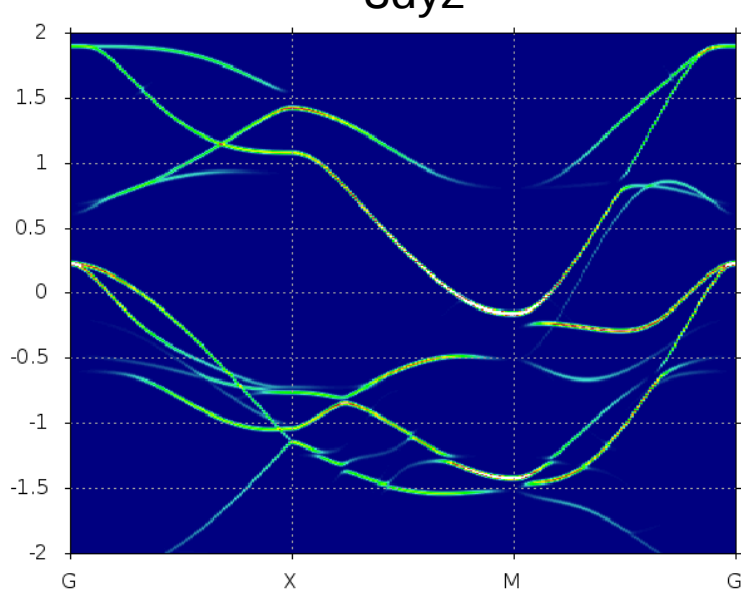


нижний слой FeSe, Fe-3dxz



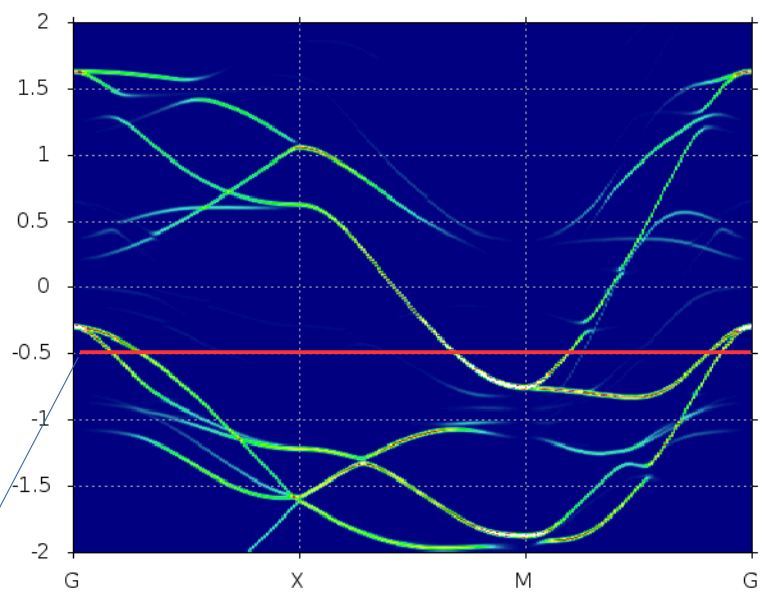


слой FeSe в mlFeSe/STO, Fe-3dyz

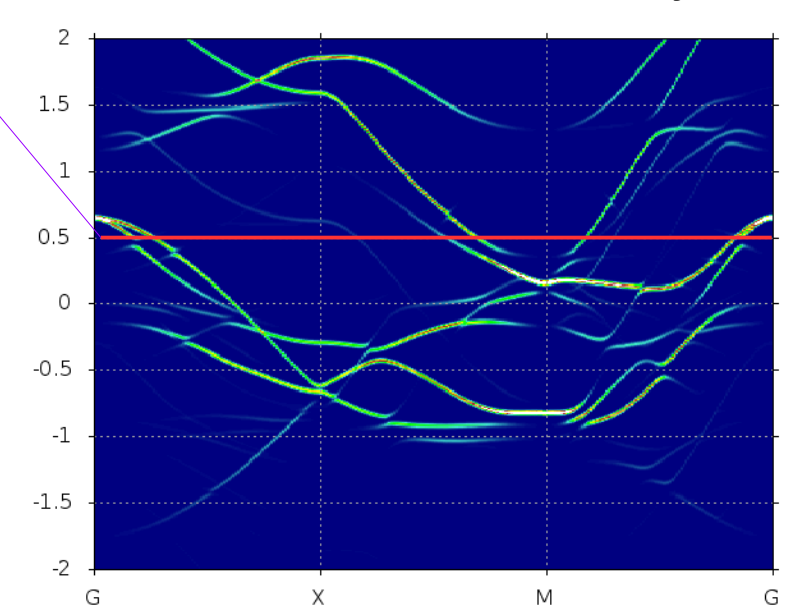


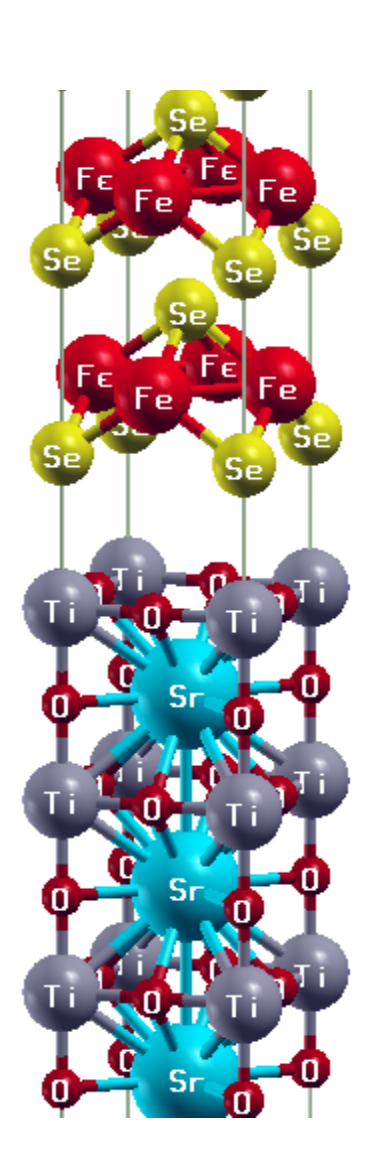
Уровень допирования для получения типичной ПФ

верхний слой FeSe, Fe-3dyz



нижний слой FeSe, Fe-3dyz





Результаты

- Проведен расчет и сравнение зонной структуры систем mlFeSe/STO и blFeSe/STO.
- В отличии от mlFeSe/STO blFeSe/STO имеет достаточно сложную зонную структуру в окрестности уровня Ферми.
- Состояния Fe-3d для верхнего и нижнего слоя blFeSe/STO качественно похожи на mlFeSe/STO, но раздвинуты вверх и вниз по энергии примерно на 0.5 эВ от уровня Ферми.
- Зона О-2р в точке М, сформированная состояниями кислорода верхнего слоя TiO₂, сдвинута вверх по энергии.

Планы

- Изучение электронной структуры систем с 3-10 слоями FeSe на подложке SrTiO₃;
- Учет электронных корреляций в таких системах в рамках LDA+DMFT метода.

^{*}I. A. Nekrasov, N. S. Pavlov, M. V. Sadovskii, and A. A. Slobodchikov, Low Temperature Physics 42, 891 (2016).